

## تأثیر آلوکسان در آپوپتوزیس سلولهای بتای لوزالمعده موش رت

یوسف دوستار<sup>۱</sup>، علیرضا گرجانی<sup>۲</sup>، مهرداد هاشمی

<sup>۱</sup> استادیار، گروه پاتولوژی، دانشکده دامپزشکی، دانشگاه آزاد اسلامی تبریز

<sup>۲</sup> استادیار، دانشکده داروسازی، دانشگاه علوم پزشکی تبریز

<sup>۳</sup> دانشجوی PhD ژنتیک مولکولی، دانشکده پزشکی، واحد پزشکی تهران، دانشگاه آزاد اسلامی

### چکیده

**سابقه و هدف:** داروی آلوکسان با القاء تولید رادیکال‌های آزاد اکسیژن (ROS) توکسیسیته سلولهای بتا را میانجیگری می‌نماید. رادیکال‌ها همچنین باعث مرگ آپوپتوتیک سلولها می‌گردند. هدف از این مطالعه، بررسی نقش آلوکسان در تغییرات مورفوپولوژیکی الگوی مرگ سلولی از نوع آپوپتوزیس با کاربرد دوزهای مختلف داروی آلوکسان بوده است.

**روش بررسی:** در این مطالعه تجربی تعدادی موش صحرائی با وزن تقریبی ۲۰۰ گرم انتخاب و آنها را به چهار گروه پنج تائی تقسیم نمودیم، موشهای گروه تیمار به ترتیب مقادیر ۱۳۵، ۹۰ و ۴۵ میلی‌گرم به‌ازای هر کیلوگرم وزن بدنشان به روش داخل صفاقی داروی آلوکسان و گروه کنترل نیز تنها سالین نرمال را دریافت نمودند. بعد از ۴۱ ساعت از تزریق، بافت پانکراس گروههای تیمار و کنترل نمونه‌برداری و آنها را جهت تهیه مقاطع بافتی ۵-۶ میکرونی و انجام روش تانل به آزمایشگاه پاتولوژی ارسال نمودیم. همچنین در مدت زمانهای ۱۲، ۲۴، ۳۶ و ۴۸ ساعت بعد از تزریق دارو از گروههای تیمار و کنترل نمونه خون تهیه و جهت اندازه‌گیری قند خون به آزمایشگاه بیوشیمی ارسال نمودیم.

**یافته‌ها:** مطالعات آزمایشگاهی نمونه‌های گروه تیمار نشانگر اشکال متعدد سلولهای آپوپتوتیک و قند بالای خون در آنها نسبت به گروه کنترل بود بطوری که میانگین تعداد سلولهای آپوپتوتیک در پنج میدان میکروسکوپی از نمونه تهیه شده از رت‌های تحت درمان با آلوکسان با سه دوز به طور معنی‌داری ( $P < 0.001$ ) بیشتر از گروه کنترل بود.

**نتیجه‌گیری:** نقش القاء آلوکسان در آپوپتوزیس هنوز بطور دقیق مشخص نشده است اما احتمال می‌رود نقش آن در مرگ سلولی از طریق تولید رادیکال‌های آزاد اکسیژن باشد.

**واژگان کلیدی:** آلوکسان، آپوپتوزیس، سلولهای بتا پانکراس.

### مقدمه

مریبوط به این دارو در جدول شماره یک آورده شده است. آلوکسان موجب القاء دیابت در حیوانات می‌گردد با وجود این مکانیسم اصلی چگونگی اثر آن هنوز به‌طور دقیق مشخص نشده است. تفاسیر متعددی در مورد چگونگی اثر آلوکسان بیان گردیده است، نتایج تعدادی از تحقیقات اشاره به نقش مهم رادیکال‌های سوبراکسید و هیدروژن‌براکسید در خصوص مکانیسم مسمومیت آلوکسان دارند، اما تاثیر رادیکال هیدروکسیل در این مورد تأیید نشده است. آلوکسان و استرپتیزوتوسمین به علت تشابهات ساختمنی با گلوکز باعث می‌شوند که این مواد از طریق راههای فرعی گیرنده گلوکز، به یاخته‌های بتا متصل شده یا داخل این یاخته‌ها شوند. آلوکسان

آلوکسان از اکسیداسیون اسیداوریک بدست می‌آید و شکل آلوکسان آن بصورت پودر بوده و رنگ آن صورتی و در آب به‌آسانی حل می‌شود. داروی فوق اغلب در موارد سرطانهای بافت پانکراس و بیشتر در موارد تحقیقاتی به عنوان داروی دیابتزا کاربرد داشته و اختصاصاً روی سلولهای بتای پانکراس موثر می‌باشد (۱). خلاصه‌ای از اطلاعات ساختار شیمیائی

آدرس نویسنده مسئول: تهران، بیمارستان جواهری، بخش اطفال، دکتر معصومه همت‌بار

(email: f\_hemat@yahoo.com)

تاریخ دریافت مقاله: ۱۳۸۴/۱۱/۲

تاریخ پذیرش مقاله: ۱۳۸۵/۱/۲۵

## آلوكسان و آپوپتوزیس سلولهای بتای لوزالمعده رت

تزریق، میزان قند خون گروهها پس از خون‌گیری از ناحیه ورید دمی سنجیده و در پایان ۴۸ ساعت موشهای مورد آزمایش را با استفاده از کلروفرم بیهوش و از ناحیه پانکراس نمونه برداری صورت گرفت. نمونه‌ها را در داخل محلول فرمالین ۱۰٪ قرار داده و به آزمایشگاه پاتولوژی ارسال نمودیم. پس از تهیه مقاطع میکروسکوپی مناسب و رنگ‌آمیزیهای معمول و اختصاصی تانل مطالعات پاتولوژیکی بر روی مقاطع فوق انجام گردید بطوری که سلولهای آپوپتوتیک در پنج میدان میکروسکوپی شمارش شدند. برای آنالیز آماری داده‌ها از ANOVA یک طرفه و t-test استفاده شد.  $p < 0.05$  معنی دار تلقی شد.

### نحوه اجرای تکنیک تشخیصی TUNEL

ابتدا مقاطع تهیه شده پس از پارافین‌زدایی و آبدهی با آنزیم پروتئیناز K مجاور و پس از انکوباسیون به مدت ۳۰ دقیقه در دمای ۳۷ درجه سانتی‌گراد با محلول PBS شستشو می‌گردد. سپس مجاور کردن مقاطع بافتی با محلول TUNEL mixture به میزان ۵۰ میکرولیتر به مدت ۶۰ دقیقه در دمای ۳۷ درجه سانتی‌گراد و شستشو با محلول PBS صورت می‌گیرد. مقاطع بافتی پس از انکوباسیون با محلول Converter-POD (۵۰ میکرولیتر) به مدت ۳۰ دقیقه در دمای ۳۷ درجه سانتی‌گراد با محلول PBS شستشو و سپس با محلول DAB نیز مجاور گشته و به مدت ۲۰ دقیقه در دمای ۲۵ سانتی‌گراد مجدد انکوبه می‌گردد. در نهایت شستشو با PBS و رنگ‌آمیزی با تولوئیدین بلو صورت می‌گیرد (۱۱، ۱۲).

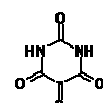
### یافته‌ها

مطالعات میکروسکوپی سلولهای بتای جزایر لانگرهانس نشان داد که همواره با افزایش میزان دوز داروی کاربردی تعداد سلولهای آپوپتوتیک افزایش می‌یابد. در جدول ۲ تعییرات تعداد سلولهای آپوپتوتیک در جزایر بتای غده پانکراس و میزان قند خون در زمانهای مختلف آورده شده است. همانطوری که مشاهده می‌شود تزریق داخل صفاقی آلوكسان به صورت واپسنه به دوز و طی ۱۲ ساعت باعث افزایش قابل ملاحظه در گلوكز خون رت‌ها می‌شود. آلوكسان بعد از ۴۸ ساعت در تمام گروههای دریافت‌کننده دارو به یک میزان موجب افزایش قند خون شده است. به عبارتی آلوكسان بعد از ۴۸ ساعت حداکثر اثر خود را در ایجاد دیابت القا کرده است. به طوری که مقدار قند خون با تزریق داخل صفاقی دوز ۴۵ میلی‌گرم به ازای هر کیلوگرم آلوكسان از  $86 \pm 6$  mg/dl به  $425 \pm 84$  mg/dl یعنی حدود ۴۰۰ درصد افزایش یافته است.

و استرپتزوتوسین داروهای هستند که بطور انتخابی یاخته‌های بتا را تخریب می‌نمایند بنابراین به عنوان یک وسیله مناسب برای ایجاد دیابت تجربی مورد استفاده قرار می‌گیرند. آلوكسان همچنین موجب تولید گونه‌های فعال اکسیژن فقط در جزائر پانکراس می‌شود (۲-۵). مطالعات قبلی نشان می‌دهد که درمان موشهای آزمایشگاهی با داروهای آنتاگونیست کلسیم نظیر Lanthanum و وراپامیل هیپرگلیسمی حاصله از تجویز آلوكسان را مهار می‌کند. آلوكسان باعث افزایش کلسیم آزاد سیتوزول سلولهای بتای پانکراس شده و احتمال می‌رود نقش دیابت‌زائی آن با میزان کلسیم داخل سیتوزول ارتباط داشته باشد. رادیکالهای آزاد اکسیژن باعث فرآگمانتسیون گشته و با آسیب DNA و تجزیه آنزیم پلی‌آدنوزین دی فسفات ریبوز پلی‌مراز (PARP)<sup>۱</sup> به دو جزء ۸۹ و ۲۴ کیلodalton، سلول دیگر نمی‌تواند وارد مسیر ترمیم DNA شده و بنابراین مسیر آپوپتوزیس را پی می‌گیرد. از طرف دیگر افزایش میزان کلسیم در سیتوزول سلول می‌تواند با تاثیر بر پتانسیل نفوذ‌پذیری غشاء میتوکندری‌ها و خروج سیتوکروم C و القاء آپوپتوزیس نقش داشته باشد. این تحقیق با هدف تعیین نوع مرگ سلولی متعاقب تاثیر داروی آلوكسان بر سلولهای بتای غده پانکراس انجام پذیرفته است (۱۰-۱۲).

### جدول ۱- مشخصات شیمیائی داروی آلوكسان

نام شیمیایی	فرمول شیمیایی	وزن مولکولی	نقطه ذوب	نقطه جوش
* 2,4,5,6(1H,3H)-Pyrimidinetetrone monohydrate	C <sub>4</sub> H <sub>4</sub> N <sub>2</sub> O <sub>2</sub>	۱۶۰/۰.۹g/mol	۲۵۳°C	۰°C



### مواد و روشها

در این مطالعه تجربی از سه گروه تیمار و یک گروه کنترل استفاده شد بطوری که ۵ موس رت در هر گروه به ترتیب با عنوانین Rat-D/135mgk, Rat-B/90mgk, Rat-A/45mgk و Rat-C/135mgk معرفی شدند. سه گروه کنترل مقدار متفاوت داروی آلوكسان و گروه کنترل سالین نرمال را به روش داخل صفاقی دریافت و در ساعت ۲۴، ۱۲، ۳۶ و ۴۸ بعد از

<sup>۱</sup> Poly (ADP-ribose) polymerase

مهار آنزیم گلوکوکیناز (GK) اعمال می‌کند. این امر از طریق اکسیداسیون دو گروه تیول که محل باز شدن گلوکز بر روی آنزیم می‌باشد، انجام می‌گردد. با مهار آنزیم GK و به همراه آن کاهش بیان ژن‌های مولده آنزیم فوک و آنزیم Glutz (Glucose Transporter-2) در سلولهای بتا و بدنبال این تغییرات تولید رادیکال‌های آزاد مسیر القای آپوپتوzیس سلولهای بتا را اندازی می‌گردد. رادیکال‌های آزاد باعث افزایش پتانسیل نفوذپذیری غشاء میتوکندری‌ها گشته و از این طریق خروج سیتوکروم C و رویداد آبشار کاسپازی آغاز می‌گردد که ماحصل این وقایع آپوپتوzیس سلولهای بتا می‌باشد.<sup>(۱۳)</sup>

همچنین براساس مطالعات Kim و همکاران در سال ۱۹۹۴ داروی فوق از طریق دیگری نیز باعث القای آپوپتوzیس در سلولهای β می‌گردد و آن با افزایش کلسیم سیتوزول سلول می‌باشد. زمانی که کلسیم سیتوزول سلولی به حداقل می‌رسد کانالهای PT میتوکندری‌ها باز شده و کلسیم داخل سلول توسط میتوکندری‌ها جذب می‌شود. در این حین با باز شدن کانالهای میتوکندری، سیتوکروم C از میتوکندری‌ها خارج و روند آپوپتوzیس با این عمل آغاز می‌گردد<sup>(۱۴، ۱۵)</sup>. از طرف دیگر با تجویز آلوکسان و کاهش گلوکز داخل سلولی مسیرهای متابولیکی متعددی فعال می‌گردند که محصول نهایی تمامی این مسیرها به تولید رادیکال آزاد اکسیژن منتهی می‌گردد. این مسیرها عبارتند از:

◀ مسیر متابولیسم سوربیتول که اکسیداسیون سوربیتول به وسیله NAD<sup>+</sup> باعث افزایش نسبت NADH:NAD<sup>+</sup> می‌گردد. این عامل باعث مهار فعالیت GAPDH و کاهش سطح Trios و Methylglyoxal و Phosphates می‌شود. این وقایع با مصرف NAD<sup>+</sup> به وسیله فعال شدن پلی‌آدنوزین-دی‌فسفات ریبوزپلیمراز در ارتباط بوده که عامل آغازین آن هیپرگلیسمی حاصله از تجویز آلوکسان بوده و می‌تواند در القاء آپوپتوzیس به واسطه آنزیم PARP نقش داشته باشد.

◀ تجویز داروی آلوکسان باعث مهار آنزیم پروتئین‌کیناز C سلولهای بتای پانکراس می‌گردد که علت آن کاهش دی‌اسیل گلیسرول می‌باشد. با کاهش میزان دی‌اسیل گلیسرول آنزیم پروتئین‌کیناز A فعال و تحمل سلول نسبت به افزایش کلسیم داخل سلولی کاهش می‌یابد. بنابراین شرایط برای القاء آپوپتوzیس مساعد می‌گردد.

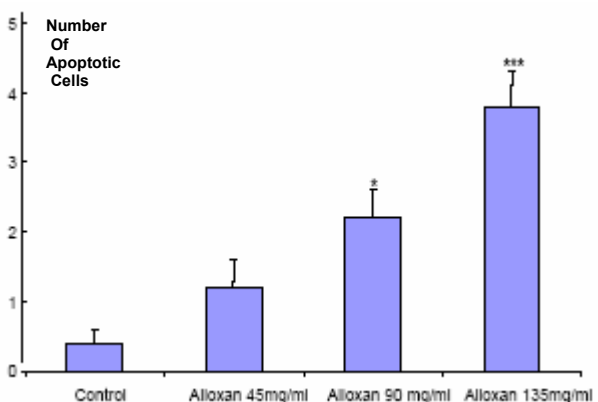
◀ مسیر دیگری که در توجیح آپوپتوzیس بدنبال تجویز آلوکسان نقش دارد فعال شدن مسیر استرسهای اکسیداتیو می‌باشد که محصول نهایی آن تولید بیش از حد رادیکال‌های آزاد می‌باشد<sup>(۱۶، ۱۷)</sup>. افزایش میزان رادیکال‌های آزاد

تعداد سلولهای آپوپتوzیک در جزایر لانگرهانس در گروه کنترل که سالین دریافت کرده‌اند و گروههای دریافت‌کننده آلوکسان در شکل ۱ نشان داده شده است. آلوکسان به صورت کاملاً وابسته به دوز و معنی دار تعداد سلولهای آپوپتوzیک را افزایش داده است بطوری که دوز ۱۳۵mg/kg تعداد این سلولها را از  $۰/۲\pm۰/۴$  در گروه کنترل به  $۰/۵\pm۰/۸$  افزایش داده است ( $p<0/001$ ).

جدول ۲- میزان قند خون ۱۲، ۲۴، ۳۶ و ۴۸ ساعت بعد از تزریق داخل صفاقی دوزهای مختلف آلوکسان در موشهای صحرایی نر ویستان ( $p<0/001$ )

مقدار قندخون پس از تزریق آلوکسان (ساعت)

گروهها	۴۸	۳۶	۲۴	۱۲
کنترل (سالین)	$۸۵\pm۶$	$۸۸\pm۵$	$۸۹\pm۶$	$۸۶\pm۶$
آلوکسان (۴۵mg/kg)	$۴۲۵\pm۸۴$	$۴۶۶\pm۵۳$	$۳۷۷\pm۴۷$	$۳۱۴\pm۵۲$
آلوکسان (۹۰mg/kg)	$۴۹۴\pm۶۷$	$۴۶۰\pm۵۹$	$۴۴۹\pm۴۶$	$۴۲۵\pm۸۱$
آلوکسان (۱۳۵mg/kg)	$۵۹۰\pm۴۵$	$۵۱۴\pm۴۱$	$۵۱۱\pm۲۵$	$۵۰۵\pm۱۴$



نمودار ۱- میانگین تعداد سلولهای آپوپتوzیک در ۵ میدان میکروسکوپی بدست آمده از جزایر لانگرهانس به روش تانل در رت‌های دریافت‌کننده سالین (کنترل) و آلوکسان با دوزهای مختلف ( $p<0/001$ ). \* $p<0/05$  \*\* $p<0/01$  در مقایسه با گروه کنترل

## بحث

نتایج نشان داد تزریق IP داروی آلوکسان در موشهای رت با دوزهای مختلف و صعودی تغییرات مرگ سلولهای بتای جزایر لانگرهانس پانکراس را افزایش می‌دهد. داروی فوق براساس یافته‌های دانشمندانی نظریer Conen و Heikkila در سال ۱۹۷۴ و Takasa در سال ۱۹۹۱ به عنوان داروی هدف DNA سلولهای بتا شناخته شد، بطوری که گمان می‌رود آلوکسان نقش تخریبی خود را بر روی سلولهای بتا از طریق

## آلوكسان و آپوپتوزیس سلولهای بتای لوزالمعده رت

مفیدی را در زمینه مرگ آپوپتویکی سلولهای بتا پانکراس به ما می‌دهد. به احتمال قوی اثرات دیابتوزنیکی داروی فوق از طریق القای آپوپتوزیس سلولهای بتا پانکراس می‌باشد، بطوری که از نظر تعداد سلولهای آپوپتویک آنالیز داده‌های بدست آمده از نتایج کار پژوهش فوق اختلاف معنی‌داری را در بین و داخل گروههای تیمار و کنترل نشان می‌دهد. البته شاید اثرات آلوكسان وابسته به دوز نیز باشد (۳).

## تشکر و قدردانی

با تشکر از استاد ارجمند جناب آقای دانش‌پژوهان که در انجام امور آزمایشگاهی ما را یاری نمودند.

داخل سلولی باعث افزایش پتانسیل نفوذپذیری غشای میتوکندری‌ها و خروج سیتوکروم C می‌گردد که در راهاندازی مسیرهای آپوپتوزیس سلولی نقش تعیین‌کننده‌ای دارد.

نتایج تزریق داروی آلوكسان با دوزهای مختلف و افزایش میزان سلولهای آپوپتویک با تغییرات صعودی دوز دارو همواره با بیان تغییرات کلسیم سیتوزول سلول و نقش رادیکال‌های آزاد در القا آپوپتوزیس با توجه به مطالب شرح داده شده بالا قابل تفسیر و استدلال می‌باشد. حداکثر و حداقل میزان تغییرات آپوپتوزیس به ترتیب در دوزهای  $135\text{mg/kg}$  و  $45\text{mg/kg}$  از داروی آلوكسان بود که بیان و تفسیر تغییرات مرگ سلولی با استدلال در زمینه‌های نقش مهاری آلوكسان در عملکرد آنزیم گلوکوکیناز-2 (GK-2)، تولید بیش از حد رادیکال‌های آزاد و افزایش  $\text{Ca}_2^+$  سیتوزول سلول اطلاعات

## REFERENCES

۱. سهرابی حقدوست، جمشیدیان قلعه شاهی ع، مخبرذوقی م. بررسی هیستوپاتولوژیکی ضایعات کبد و لوزالمعده در دیابت ملیتوس تجربی ایجاده شده بواسیله آلوكسان در بز. مجله علوم دامپزشکی ایران، ۱۳۸۳؛ سال اول، شماره یک، صفحات ۴۹-۵۳.
۲. عیسی بیگلو. نقش نیتریک اکسید در پاسخ موش سوری مبتلا به دیابت تجربی. پایان نامه دوره دکتری حرفه‌ای، دانشگاه آزاد اسلامی تبریز، دانشکده دامپزشکی، سال ۱۳۸۱.
3. Hye-won R, Ji-Na L, Hyung-Rok Kim M. Protective mechanism of glucose against alloxan-induced B-cell damage. *Exp Mol Med* 2000;32(1):12-7.
4. Sabin SIW, Claudia D, Patricia SO, Helga G. Molecular target structures in alloxan-induced diabetes in mice. *Life Sciences* 2001;71:1681-94.
5. Soldani C, Scorassi AI. Play (ADP-ribose) polymerase-1 cleavage during apoptosis. *Apoptosis* 2002;7:321-28.
6. Jorns A, Tiedge M, Lenzen S. Effect of superoxide dismutase, catalase, chelating agents, and free radical scavengers on the toxicity of alloxan to isolated pancreatic islet in vitro. *Free Radical Biology and Medicine* 1999;26:1300-4.
7. Hui H, Dotta F, Di Mario U, Perfetti R. Role of caspase in the regulation of apoptotic pancreatic islet beta-cells death. *J Cell Physiol* 2004;200:177-200.
8. Domingo JL, Gomez M, Llobet JM, Corbella J, Keen CL. Improvement of glucose homeostasis by oral vanadyl or vanadate treatment in diabetic rats is accompanied by negative side effects. *Pharmacol Toxicol* 1991;68:249-53.
9. Broca C, Gross R, Petit P, Sauvaire YM. Experimental evidence of its insulinotropic and antidiabetic properties. *Am J Physiol* 1999;277:E617-E623.
10. Saldeen J. Cytokines induce both necrosis and apoptosis via a common Bcl-2-inhibitable pathway in rat insulin-producing cells. *Endocrinology* 2000;141:2003-10.
11. دوستاری. مطالعه آزمایشی آپوپتوزیس القاء شده توسط ویروس عامل بیماری بورس عفونی جوجه‌ها با استفاده از تکنیک‌های تشخیصی TUNEL و میکروسکوب. پایان‌نامه دوره دکتری تخصصی، دانشکده دامپزشکی، سال ۱۳۸۳.
12. Suresh Y, Das N. Protective action of arachidonic acid against alloxan-induced cytotoxicity and diabetes mellitus. *Prostaglandine Leuktrienes Journal* 2000;64:37-52.
13. Federici M, Rival M, Perego L, Ranalli M. High glucose causes apoptosis in cultured human pancreatic islets of Langerhans: a potential role for regulation of specific Bcl family genes toward an apoptotic cell death program. *Diabetes* 2001;50:1290-1301.
14. Cushman S, Wardzala L. Potential mechanism of insulin action on glucose transport in the isolated rat adipose cell. Apparent translocation of intracellular transport systems to the plasma membrane. *J Biol Chem* 1980;255:4758-62.

15. Dunger A, Augstein P, Schmidt S, Fisher U. Identification of interleukin 1-induced apoptosis in rat islets using in situ specific labelling of fragmented DNA. J Autoimmune 1996;9:309-13.
16. Masutani M, Suzuki H, Kamada N, Watanabe M, Ueda O, Nozaki T, et al. Poly(ADP-ribose) polymerase gene disruption conferred mice resistant to allooxn-induced diabetes. Proc Natl Acad Sci USA 1999;96:2301-4.

Archive of SID